



مقاله پژوهشی

اثر تمایزی آگزوزوم‌های مشتق شده از مونوسیت‌ها و ماکروفاژها در داربست‌های قطره‌ای کیتوزان آلژینات

نسرین حسینی^۱، جواد بهارآرا^{۲*}، خدیجه نژاد شاهرخ آبادی^۱، سعیده ظفر بالانژاد^۱

۱- گروه زیست‌شناسی، واحد مشهد، دانشگاه آزاد اسلامی، مشهد، ایران

۲- گروه زیست‌شناسی و مرکز تحقیقات بیولوژی کاربردی تکوین جانوری، واحد مشهد، دانشگاه آزاد اسلامی، مشهد، ایران

*مسئول مکاتبات: baharara@mshdiau.ac.ir

تاریخ پذیرش: ۱۳۹۹/۱۱/۰۲

تاریخ دریافت: ۱۳۹۹/۰۸/۰۶

چکیده

آسیب‌های استخوانی یکی از چالش‌های علم پزشکی محسوب می‌شود که هر ساله هزینه‌ی زیادی را در دنیا برای درمان به خود اختصاص می‌دهد. آگزوزوم‌ها، نانوزیکول‌هایی هستند که پروتئین‌ها و ماده‌ی ژنتیک به سلول هدف وارد می‌کنند و به دنبال آن، تکثیر، بقای سلولی و تمایز را در سلول گیرنده القا می‌نمایند. این ویژگی‌ها، می‌تواند آگزوزوم‌ها را به عامل تمایزی مناسب تبدیل کند. هدف از انجام این مطالعه، بررسی اثر تمایزی آگزوزوم‌های مشتق شده از مونوسیت‌ها و ماکروفاژها در داربست‌های قطره‌ای کیتوزان آلژینات. داربست‌های کیتوزانی - آلژیناتی به روش قطره‌ای به همراه سلول‌های بنیادی چربی ساخته شد. سپس سلول‌های مونوسیتی کشت و مایع رویی جمع‌آوری شد و آگزوزوم‌ها به روش اولتراسانتریفوژ جمع شدند و توسط روش DLS و SEM شناسایی شدند. نمونه‌ها تیمار و سپس تست MTT و DAPI و برای بررسی فرآیند تمایز تست آلکالین فسفاتاز و Real-time PCR انجام شد. بررسی یافته‌های آزمون MTT نشان داد میزان بقای سلول‌های تمایز یافته با آگزوزوم‌ها در روزهای ۷، ۱۴ و ۲۱ نسبت به کنترل تفاوت معناداری داشت. نتایج DAPI نشان‌دهنده عدم مرگ سلولی در گروه‌های تیماری بود و نتایج تست آلکالین فسفاتاز تفاوت معناداری با گروه کنترل نشان داد و همچنین نتایج Real-time PCR افزایش بیان ژن‌های BMP 2/6، SMAD4، ژن‌های تمایزی استئوکلستین (Osc) و استئوپوننتین (Opn) نسبت به نمونه کنترل را به همراه داشت. این مطالعه، نشان داد آگزوزوم مشتق از سلول‌های مونوسیتی و ماکروفاژی، می‌تواند سبب بقا و تمایز استئوژنیک سلول‌های مزانشیمی چربی در داربست‌های کیتوزان آلژینات شوند.

کلمات کلیدی: آگزوزوم، سلول بنیادی چربی، تمایز سلولی، مونوسیت، داربست کیتوزان، آلژینات.

مقدمه

کلیدی در ارتباطات بین‌سلولی تحت شرایط فیزیولوژیکال و پاتولوژیکال ایفا می‌کنند (۱۴). آگزوزوم‌ها حاوی مقدار قابل توجهی از پروتئین‌ها، لیپیدها، RNA و RNA کوچک می‌باشند (۱۰). در دو دهه اخیر آگزوزوم‌ها به عنوان سومین مکانیزم برای

آگزوزوم‌ها وزیکول‌های کوچکی با منشاء درون سلولی هستند که توسط بسیاری از انواع سلول‌های مختلف به فضای خارج سلولی آزاد می‌شوند. آگزوزوم-هاوزیکول‌های با اندازه ۳۰ تا ۱۰۰ نانومتر هستند که توپولوژی شبیه غشای پلاسمایی دارند (۱۴). آنها نقش

با ساختاری ساکاریدی است که از استیل زدایی پلیمر طبیعی کیتین به دست می‌آید (۲۴). به دلیل وجود گروه‌های آمینی در کیتوزان، این پلیمر دارای خصوصیات منحصر به فردی است که از آن جمله می‌توان به قابلیت زیستی، غیرسمی بودن و سازگاری با سلول‌ها و بافت‌ها اشاره نمود. به علت داشتن گروه‌های آمین در ساختار خود، باعث افزایش آبدوستی سطح داربست‌ها شده و در نتیجه باعث چسبندگی سلول‌ها به سطح داربست می‌شود همچنین کیتوزان نقش مهمی در چسبندگی، تمایز و مورفوزن استئوبلاست‌ها و تشکیل استخوان دارد (۲۱). هیدروژل‌ها یکی از انواع داربست‌ها با ساختار جامد و به صورت ژل می‌باشند (۲۲). آلژینات زیست سازگار است و برای بدن بیضرر است این ماده قابلیت استفاده در بسیاری از فعالیت‌های کاربردی پزشکی به خصوص در زمینه‌های ترمیم زخم، انتقال مواد دارویی، کشت سلول در شرایط آزمایشگاهی و مهندسی بافت دارد (۱۴). آلژینات دارای ویژگی‌های جذابی مانند زیست‌سازگاری، ارزان و در دست بودن ماده اولیه و امکان اعمال تغییرات ساده برای آماده‌سازی مشتقات آلژینات با خواص جدید می‌باشد. در بکارگیری سلول‌ها به منظور سلول درمانی در نظر گرفتن قابل دسترس بودن و فراوانی سلول بنیادی، استخراج آسان و کم خطر برای بیماران، توانایی تبدیل به سایر رده‌های سلولی، ایمنی برای فرد گیرنده و عدم دفع پیوند بسیار حائز اهمیت می‌باشد (۲). سلول‌های بنیادی مزانشیمال استخراج شده از بافت چربی قابلیت تزیاد زیادی داشته و به چندین رده سلولی مثل آدیپوسیت، استئوبلاست، میوبلاست، کندروبللاست، آندوتلیال و کاردیومیست تمایز داده شده‌اند به علاوه، سلول‌های بنیادی مشتق از بافت چربی نیاز به نگهداری طولانی مدت در بانک‌های سلول نیاز به صرف هزینه‌های بالا ندارند (۱۸).

ارتباط‌های بین سلولی معرفی شده‌اند و در خون، ادرار، بزاق، مایع منی، سرم و غیره وجود دارند و توسط تعداد زیادی از سلول‌ها مانند سلول‌های دندریتیک، ماست سل‌ها، پلاکت‌ها، سلول‌های خونی، تواموری و غیره به فضای خارج سلولی ترشح می‌شوند (۳۰). برای مطالعه و استفاده کاربردی ابتدا باید آنها را تخلیص کرد آگروزوم‌ها در انواعی از پردازش‌های مهم زیستی مانند پاسخ ایمنی و التهاب، تمایز، تعمیم بافت، انعقاد خونی و رگ‌زایی نقش مهمی دارند (۱۵). آنها بسته به اینکه از چه سلول‌هایی منشا می‌گیرند، دارای ترکیبات مختلف هستند، بنابراین بیان ژن‌های متفاوتی را تنظیم می‌کنند (۳۰). مونوسیت‌ها عضوی از یک گروه متنوع سلولی به نام لوکوسیت‌ها می‌باشند. لوکوسیت‌ها در جریان خون و لنف با مهاجرت به مکان‌های آسیب دیده بافتی و یا عفونی به عنوان یک منبع در بهبود قسمت‌های آسیب دیده عمل می‌کنند استخوان سازی با قطبیت ماکروفاژها بهبود می‌یابد زیرا تسهیل مهاجرت و چسبندگی سلول‌های تشکیل دهنده استخوان بر روی سطح ایمپلنت را افزایش می‌دهد (۱۱). مونوسیت‌ها در فرایند اتصال استئوبلاست و استئوکلاست بسیار مهم هستند، که برای بازسازی استخوان‌ها ضروری است (۱۱). سلول‌های زنده انواع مختلفی از وزیکول‌های خارج سلولی (EVs) به درون محیط خارج از سلول را آزاد می‌کنند که به طور عمده در ارتباطات داخل سلولی دخیل هستند (۱۶). در مهندسی بافت استخوان، یک داربست سه بعدی زیست فعال و زیست‌تخریب‌پذیر جهت حمایت از سلول‌های کشت شده در خلال بازسازی استخوان، همچنین هدایت سه بعدی تشکیل بافت استخوانی جدید استفاده می‌شود (۶). طی سال‌های گذشته تلاش شده است مواد طبیعی جایگزین مواد شیمیایی بشوند (۱۶). کیتوزان بیو پلیمر استخراج شده از سخت‌پوستان است (۲۴). کیتوزان، پلیمری خطی

مواد و روش‌ها

در PBS حل شده و در دمای ۲۰- نگهداری می‌شود (۶).

شناسایی آگزوزوم توسط میکروسکوپ الکترونی نگاره (SEM): به منظور بررسی شکل و اندازه، آگزوزوم‌های تخلیص شده توسط گلو تار آلدئید ۲/۵ درصد تثبیت و با PBS شستشوداده شد. سپس نمونه توسط اتانول آبگیری شده و روی سطح شیشه‌ای خشک با لایه‌ی نازکی از لایه نازکی از طلا پوشانده شد و توسط میکروسکوپ بررسی شد (۱۹).

بررسی آگزوزوم‌های جداسازی شده توسط سنجش (DLS): پراکندگی نور دینامیکی (DLS) روشی فیزیکی است که برای تعیین توزیع ذرات موجود در محلول‌ها و سوسپانسیون استفاده می‌شود. این روش غیرمخرب و سریع برای تعیین اندازه ذرات در محدوده چند نانومتر تا میکرون به کار می‌رود. اندازه آگزوزوم‌ها توسط بررسی DLS انجام شد (۱۹).

آماده‌سازی داربست‌ها: سلول‌های بنیادی چربی به همراه هیدروژل مخلوط شد که به ازای هر میلی‌لیتر کیتوزان آلژینات $3/5 \times 10^6$ سلول در نظر گرفته شد. هیدروژل کیتوزان آلژینات به همراه سلول‌های قرار گرفته در آن به سرنگ cc10 استریل انتقال یافته و از میان سوزن ۲۱ درجه بیان شدند سپس فرآیند ژل شدن در پلیت‌های حاوی ۵ میکرومولار محلول کلرید کلسیم ۲ درصد انجام شد و بعد به پلیت حاوی محیط کشت DMEM حاوی ۱۰ درصد FBS و ۱ درصد (پنی‌سلین / استرپتومایسین) انتقال داده شد (۲۴).

طراحی گروه‌های آزمایش: گروه اول: ۲۰ داربست-های هیدروژلی سه بعدی قطره‌ای به همراه سلول‌های بنیادی مزانشیمی چربی. گروه دوم: ۲۰ داربست‌های هیدروژلی سه بعدی قطره‌ای به همراه سلول‌های بنیادی مزانشیمی چربی و تیمار با غلظت ۵۰

برای انجام این مطالعه، کیتوزان (با درجه‌ی د-استیلاسیون ۸۵ درصد)، و آلژینات از کمپانی سیگمای آمریکا خریداری شد. برای تهیه‌ی داربست کیتوزان آلژینات، گرد کیتوزان در اسید استیک ۰/۲ مولار حل شد تا محلول کیتوزان ۱/۵ درصد (نسبت وزن بر حجم) با $ph=4/4$ به دست آمد. محلول آلژینات با درصد وزنی ۴ درصد با استفاده از پودر آلژینات و محیط کشت DMEM در زیر هود و شرایط استریل با هم مخلوط و به آرامی هم زده شد. بعد از آن توسط دستگاه هات پلیت مگنت به مدت ۲ ساعت مخلوط شد تا محلولی یکنواخت بدست آمد. سپس محلول مورد نظر به مدت ۲۴ ساعت در دمای آزمایشگاه باقی خواهد ماند تا حباب‌های ایجاد شده در آن از بین برود و سپس محلول کیتوزان به نسبت ۱ به ۳ اضافه شد (۲۶).

تهیه سلول‌های بنیادی چربی و سلول‌های خونی: سلول‌های بنیادی چربی و سلول‌های خونی (مونوسیت و ماکروفاژ) از مرکز تحقیقات بیولوژی کاربردی تکوین جانوری تهیه شد. سلول‌های بنیادی با مارکرهای CD90 و CD105 شناسایی و سلول‌های خونی با مارکرهای CD14 و CD45 بررسی شد.

جداسازی و خالص‌سازی آگزوزوم: پس از جمع آوری محلول روی محیط کشت سلول‌ها به مدت ۱۰ دقیقه با دور ۱۵۰۰۰ سانتریفوژ شد تا سلول‌های مرده و قطعات بزرگ غشایی حذف شوند. سپس به منظور رسوب دادن آگزوزوم‌ها به مدت ۶۰ دقیقه با دور ۲۰۰۰۰۰ اولتراسانتریفوژ شد. بعد از آن رسوب آگزوزومی در PBS حل شده و به منظور حذف آلودگی‌های پروتئینی، سوسپانسیون آگزوزومی به طور مجدد با دور ۲۰۰۰۰۰ در مدت ۶۰ دقیقه اولتراسانتریفوژ می‌گردد. در نهایت رسوب آگزوزومی

خارج گردید. در ادامه محلول نمک دیازونیوم به مدت ۳۰ دقیقه اضافه و پس با آب دیونیزه به مدت ۲ دقیقه شستشو داده شد. بعد از خارج کردن آب، به مدت ۱۰ دقیقه هماتوکسیلین اضافه و سپس جذب نمونه‌ها توسط اسپکتروفوتومتر سنجیده شد (۱۲).

روش ارزیابی مولکولی در سطح بیان ژن: ابتدا استخراج RNA سپس سنتز cDNA از سلول‌های بنیادی مزانشیمی چربی مغز استخوان در هفته سوم از داریست جدا و طبق پروتکل شرکت سازنده کیاژن، امریکا انجام گرفت. پرایمرهای اختصاصی ژن‌های BMP2/6 و Smad4 و همچنین از مارکرهای استئوکلسین (Osc) و استئوپونتین (Opn) که دو شاخص از سلول‌های استئوبلاست تمایز یافته هستند طراحی و با روش Real Time-PCR مورد سنجش قرارگرفت و از ژن GAPDH به عنوان House keeping استفاده شد (۵). ۱۶۰ عدد داریست ساخته شد. به ۸ گروه ۲۰ تایی تقسیم و در روزهای ۱، ۷، ۱۴ و ۲۱ از نظر رشد و تمایز سلول‌های بنیادی توسط روش‌های فوق ارزیابی شد. هر آزمایش سه بار تکرار شد و میانگین نتایج مقایسه شد. داده‌ها با استفاده از نرم‌افزار SPSS و آزمون آماری t-Test و تست تعقیبی مناسب که در سطح ($p < 0/05$) تجزیه تحلیل شدند.

میکروگرم بر میلی‌لیتر آگروزوم که در روزهای ۱، ۷، ۱۴ و ۲۱ نسبت به کنترل سنجیده شدند. غلظت در این پژوهش با روش آزمون و خطا بدست آمد.

آزمون MTT جهت تعیین میزان بقای و تکثیر سلولی: آزمون MTT یکی از روش‌های تعیین تعداد سلول‌های زنده می‌باشد که بر اساس فعالیت متابولیکی سلول‌ها استوار است. سلول‌ها پس از کشت بر روی داربست در روزهای ۱، ۷، ۱۴، ۲۱ جدا شدند و بر اساس پروتکل موجود جذب در طول موج ۵۶۰ نانومتر با استفاده از دستگاه اسپکتروفوتومتر اندازه‌گیری شدند (۲۷).

رنگ‌آمیزی هسته‌ای DAPI: DAPI یک رنگ فلورسنت است که با قدرت به نواحی غنی از آدنین- تیمین در DNA متصل می‌شود. با این رنگ می‌توان سلول‌ها را از نظر مورفولوژی بررسی کرد. به منظور بررسی اثر آگروزوم‌ها بر روی سلول‌های بنیادی مزانشیمی چربی بر اساس پروتکل موجود سلول‌ها رنگ‌آمیزی و سپس توسط میکروسکوپ فلوروسنت بررسی و عکس‌برداری شدند (۳۱).

سنجش فعالیت آنزیم آلکالین فسفاتاز: ابتدا داربست‌ها با محلول PBS دو بار شستشو داده شد. بعد به مدت ۳۰ ثانیه فیکساتیو اضافه شده و به مدت ۴۵ ثانیه با آب دیونیزه شستشو و سپس آب دیونیزه

جدول ۱- توالی پرایمرهای مورد استفاده در آنالیز Real Time-PCR

Oligo Name	Sequence (5' → 3')	Amplicon, bp
GAPDH F	TGACTTCAACAGCGACACC	19
GAPDH R	TTGCTGTAGCCAAATTCGTT	20
BMP6 F	GAAACATAACCGTGAAGCTC	20
BMP6 R	TACTGAACCAGCTGATCCTT	20
BMP2 F	GCACATGAAGTATAATGGTC	20
BMP2 R	AAATTATGTACAAACCCGAT	20
SMAD4 F	GCCTGTTCACAATGAGCTTG	20
SMAD4 R	CCTTGCTCTCTCAATGGCTT	20
OSC F	TGCAGCCTTTGTGTCCAAGC	20
OSC R	ATGTGGTCAGCCAACCTCGTC	20
OPN F	GTAGACCCCAAAAGTAAGGA	20
OPN R	TTGACCTCAGAAGATGCACT	20

نتایج

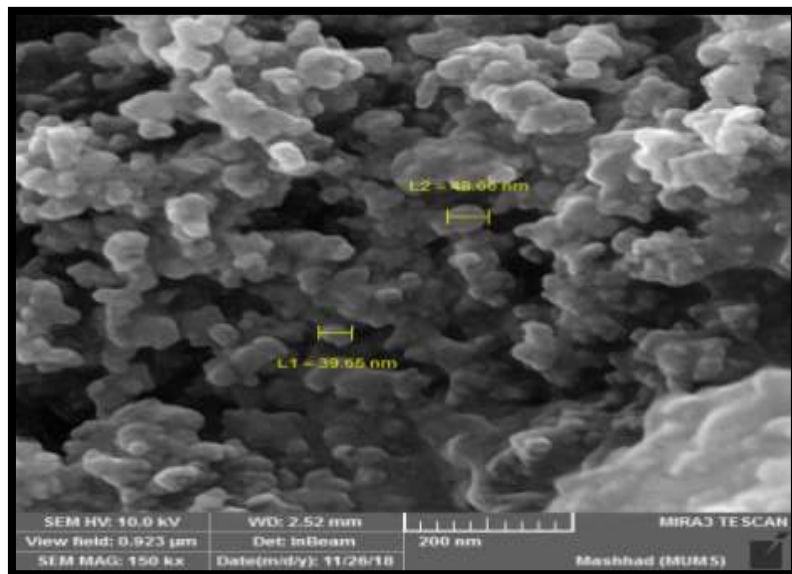
در روزهای ۱ و ۷ تفاوت معناداری بین گروه کنترل و تیمار وجود ندارد اما در روزهای ۷ و ۲۱ دارای تفاوت معناداری نسبت به گروه کنترل هستند ($p < 0/01$).

رنگ‌آمیزی DAPI: نتایج رنگ‌آمیزی DAPI در شکل ۲ نشان داد نمونه های تیمار شده با غلظت ۵۰ میکروگرم بر میلی‌لیتر آگزوزم در مقایسه با نمونه کنترل در روزهای ۷، ۱۴ و ۲۱ هیچگونه تغییرات هسته‌ای که نشانه آپوپتوز باشد را نشان نمی‌دهند. نتایج بررسی فعالیت آنزیم آلکالین فسفاتاز نشان داد داربست‌های تیمار شده با غلظت ۵۰ میکروگرم بر میلی‌لیتر نسبت به نمونه کنترل با افزایش زمان افزایش بیان داده داشته نتایج در نمودار ۴ دیده می‌شود.

بیان ژن توسط Real-Time PCR: سطح بیان ژن‌های BMP 2/6 و SAMAD 4 و ژن‌های تمایزی استئوپتین و استوکلسین در پاسخ به تیمار با آگزوزم ۵۰ میکروگرم بر میلی‌لیتر در روز ۲۱ توسط Real-Time PCR اندازه گیری شد. نتایج ما نشان داد که در سلول‌های بنیادی چربی پس از تیمار با آگزوزم ۵۰ میکروگرم بر میلی‌لیتر ژن‌های BMP 2/6 و SAMAD 4 افزایش بیان داشتند و همچنین ژن‌های تمایزی استوکلسین (Osc) و استئوپونتین (Opn) نسبت به نمونه کنترل افزایش بیان داشتند. از ژن GAPDH به عنوان Housekeeping استفاده شد.

شناسایی آگزوزوم توسط میکروسکوپ الکترونی نگاره (SEM): آگزوزوم‌ها نانو وزیکول‌های گرد به قطر ۳۰ تا ۱۰۰ نانومتر هستند. برای تأیید ریخت شناسی و اندازه آنها نمونه جدا شده با میکروسکوپ الکترونی نگاره مورد بررسی قرار گرفت. همانطور که در شکل زیر نشان داده شده است وزیکول‌های کوچک با مورفولوژی بیضی شکل در میکروگراف‌ها بدست آمده از میکروسکوپ الکترونی قابل رویت است. دامنه اندازه گیری وزیکول‌ها براساس کوچکترین و بزرگترین وزیکول دیده شده در میکروگراف‌های متعدد بین ۳۲ تا ۸۷ نانومتر تعیین گردید. با این حال اکثریت وزیکول‌ها اندازه کوچکتر از ۸۰ نانومتر داشتند. **بررسی اندازه آگزوزوم‌ها با دستگاه DLS:** اندازه آگزوزوم‌ها با استفاده از دستگاه DLS مورد بررسی قرار گرفت. اندازه تمام نانوذرات جداسازی شده بین ۳۲ تا ۸۷ نانومتر بود که با اندازه آگزوزوم‌ها کاملاً مطابقت داشت و حاکی از صحت جداسازی آگزوزوم‌ها می‌باشد.

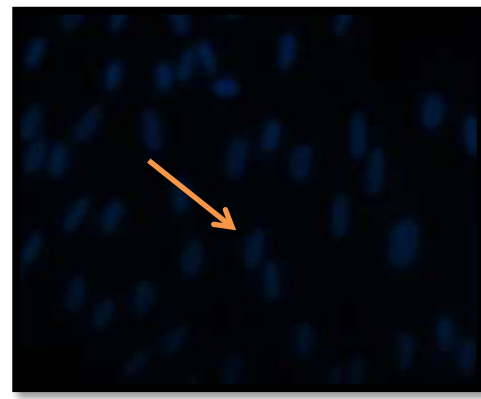
آزمون MTT جهت تعیین میزان بقای و تکثیر سلولی در داربستهای کیتوزان-آلژینات: به منظور بررسی رشد، تکثیر و بقای سلول‌های بنیادی چربی در داربست‌های کیتوزان آلژینات تیمار شده با غلظت ۵۰ میکروگرم بر میلی‌لیتر آگزوزوم تست MTT در روزهای ۱، ۷، ۱۴ و ۲۱ صورت گرفت نتایج نشان داد



شکل ۱- میکروسکوپ الکترونی نگاره از آگزوزوم‌های مشتق از سلول‌های مونوسیتی و ماکروفاژی



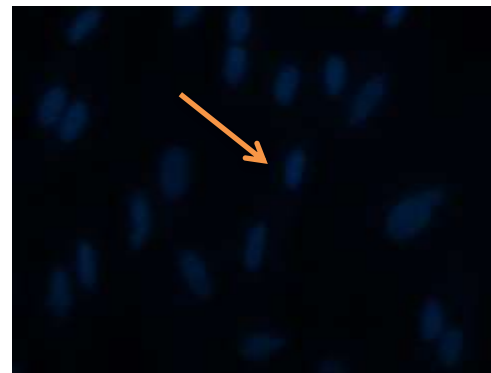
روز ۷



کنترل



روز ۲۱



روز ۱۴

شکل ۲: رنگ آمیزی DAPI نشان دهنده عدم تغییر در هسته سلول‌های بنیادی چربی در مقایسه با کنترل پس از تیمار با غلظت ۵۰ میکروگرم بر میلی‌لیتر آگزوزوم در روزهای ۷، ۱۴ و ۲۱ می باشد. فلش نارنجی رنگ هسته‌ها را نشان می‌دهد.

Calculation Results

Peak No.	S.P.Area Ratio	Mean	S. D.	Mode
1	0.99	41.4 nm	3.7 nm	41.1 nm
2	0.01	297.4 nm	40.9 nm	292.5 nm
3	--	-- nm	-- nm	-- nm
Total	1.00	43.6 nm	24.1 nm	41.1 nm

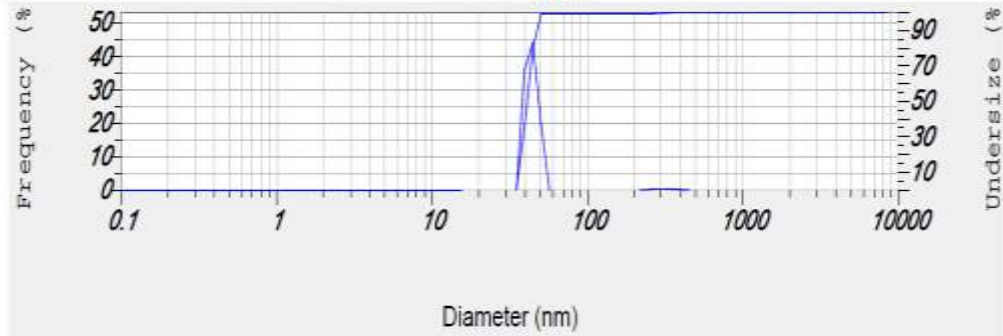
Cumulant Operations

Z-Average

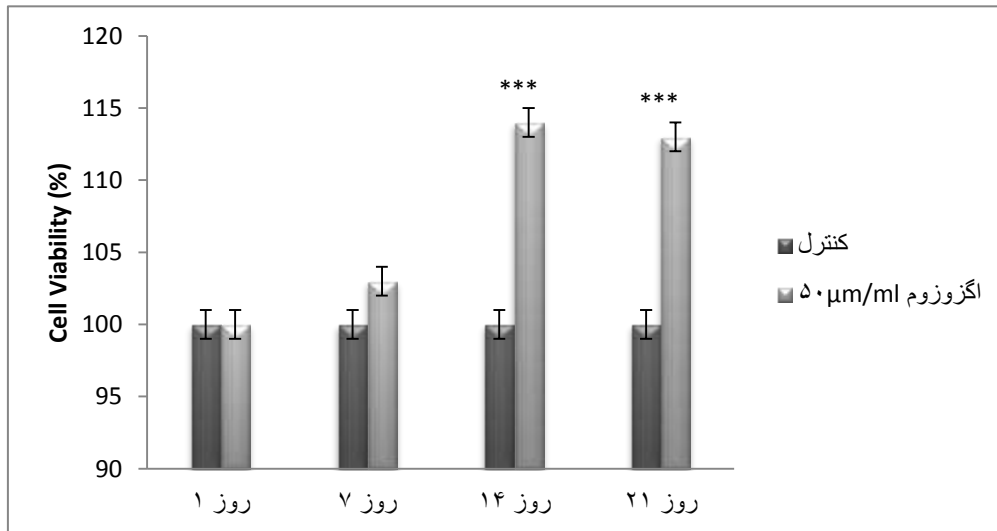
: 187.5 nm

PI

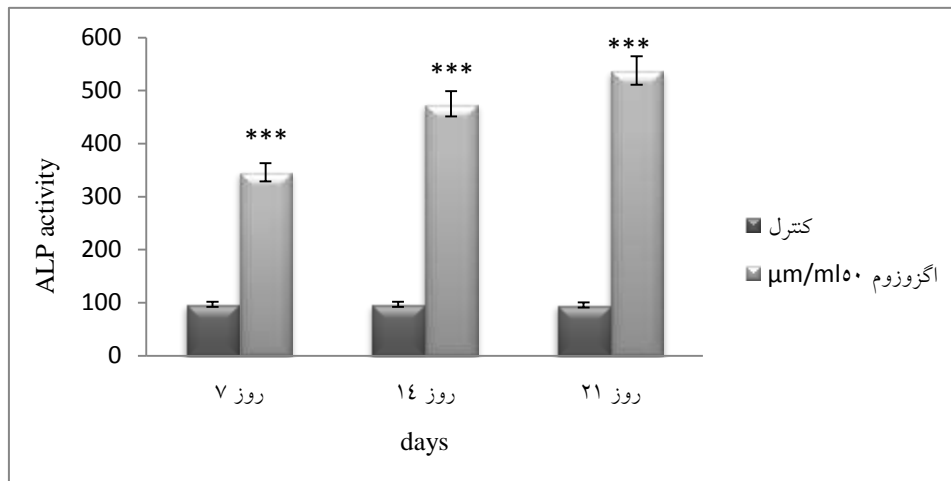
: 0.610



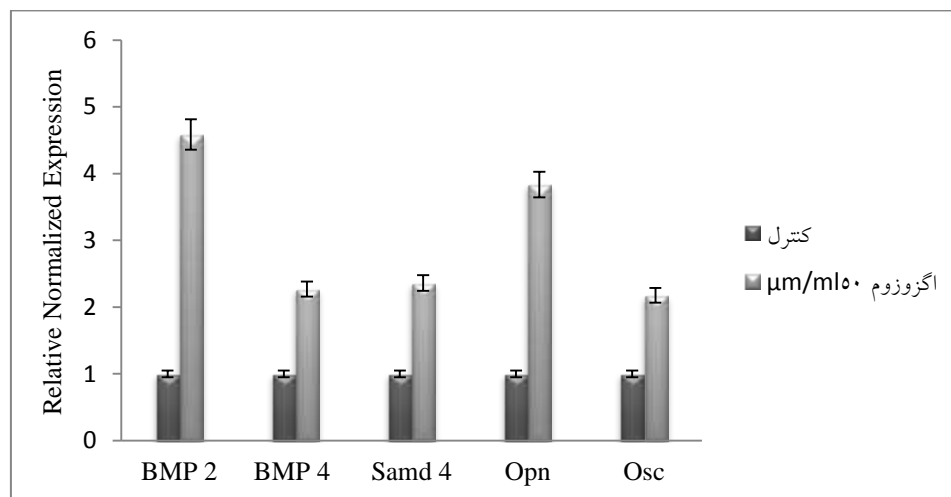
نمودار ۱- بررسی اندازه آگروزوم ها با دستگاه DLS قطر همه ذات بین ۳۰ تا ۱۰۰ نانومتر بود و پیک ذرات در ۴۳.۵ نانومتر مشاهده می‌شود.



نمودار ۲- بررسی زیست‌تایی سلول های بنیادی چربی در داربست های کیتوزان آلژینات پس تیمار با غلظت ۵۰ µg/ml آگروزوم نسبت به گروه کنترل در روزهای ۱، ۷، ۱۴ و ۲۱. داده ها به صورت \pm sd نمایش داده شده است. مقدار $p < 0/001$ (***) اختلاف معنا داری با گروه کنترل نشان داد.



نمودار ۳- فعالیت آلکالین فسفاتاز سلول‌های بنیادی چربی کشت داده شده در داربست های قطره ایی آلژینات- کیتوزان در روزهای مختلف نشان می‌دهد نمونه‌ها تیمار شده در روزهای ۷، ۱۴ و ۲۱ دارای تفاوت معنا داری نسبت به نمونه کنترل هستند. $p < 0.001$ *** اختلاف معنا داری با گروه کنترل نشان داد.



نمودار ۴- الگوی بیان ژن‌های BMP 2/6 و SAMAD 4 و ژن های تمایزی استئوکلسین (Osc) و استئوپونین (Opn) در سلول‌های بنیادی چربی در داربست آلژینات - کیتوزان پس از تیمار با اگزوزوم ۵۰ µg/ml در روز ۲۱.

بحث

بیمارانی با ضعف یا از کارافتادگی اندام و یا بیماری‌های حاد است که این امر با استفاده از روش‌های درمانی متنوع اندام مصنوعی- زیستی تحقق می‌یابد (۳۳). اخیراً دانشمندان دریافته‌اند که کشت سه بعدی سلول‌ها تغییرات شگفت‌انگیزی را در ساختار و عملکرد آن به وجود می‌آورد (۱). این داربست‌های سه بعدی همچنین باعث ایجاد فتوتیپ‌های سلولی مشابه فتوتیپ‌های درون بدن می‌شود و شکل‌زایی

مهندسی بافت یکی از علوم جدید است که در سال‌های اخیر در درمان ضایعات بافتی و اندامی و حتی جایگزینی کامل یک اندام، بسیار مورد توجه قرار گرفته است (۲۳). امروزه تحقیقات در زمینه مهندسی بافت در سطح وسیعی رو به گسترش است به طوری که مهندسی بافت توانایی بالقوه برای ساخت عضو و بافت را دارد اهداف مهندسی بافت فراهم‌سازی اندام‌های کارآمد یا جایگزین قسمتی از بافت برای

نشان دادند که این داربست‌های کامپوزیتی نامزدهای بلقوه‌ای برای بازسازی بافت استخوان هستند. همچنین نتایج ما در راستا با نتایج قبلی نشان می‌دهد استفاده توام آلژینات و کیتوزان می‌تواند بستر مناسبی برای رشد و تکثیر و تمایز سلول‌های بنیادی چربی به سمت استئوژنیک باشد (۱۴).

سلول‌های بنیادی مزانشیمی، سلول‌های بنیادی چندتوانی هستند که قادر به خودنوزایی و تمایز به انواع سلول‌های عملکردی می‌باشند. جداسازی آسان، ظرفیت مهاجرت بالا، میزان تکثیر به نسبت زیاد و توانایی آنها جهت جلوگیری از پاسخ‌های آلورژیک پس از رد پیوند، آنها را به عنوان کاندیداهای جذابی در طب ترمیمی معرفی نموده است (۱۷).

Ciuffi و همکارانش در سال ۲۰۱۷ نشان دادند سلول‌های بنیادی مشتق شده از بافت چربی (ASC) همراه با آدیوسیت‌ها، سلول‌های اندوتلیال عروقی و سلول‌های عضلانی صاف، در بافت چربی قرار دارند. ASCs مانند سلول‌های بنیادی مغز استخوان انسان (BMSCs) می‌توانند به چندین رده (سلول‌های چربی، فیروبللاست، کندروسیت‌ها، استئوبلاست‌ها، سلول‌های عصبی، سلول‌های اندوتلیال و میوسیت‌ها) تقسیم شوند. آنها همچنین نشان دادند که این سلول‌ها در کشت‌های بلند مدت دارای ایمنی و از لحاظ ژنتیکی پایدار هستند. با این وجود، بر خلاف BMSCs، ASCs را می‌توان به راحتی در مقادیر زیادی با حداقل روش‌های تهاجمی برداشت کرد. این ویژگی‌ها نشان می‌دهد که این سلول‌ها ممکن است یک ابزار مفید در مهندسی بافت و پزشکی احیا کننده باشند (۳).

صالحی نیک و همکارانش در سال ۲۰۱۷ نشان دادند که بافت‌های چربی در مهندسی بافت استخوان از اهمیت زیادی برخوردارند زیرا به مقدار زیاد به عنوان مواد زائد در دسترس هستند. پماد چربی باکال (BFP) یک بافت ویژه بافت چربی است که به راحتی

بافت را نیز افزایش می‌دهند. تلاش‌های مهندسان بافت در جهت ایجاد ساختارهای با تقلید از ویژگی‌های بافت‌های بدن می‌شود (۳۲).

آلژینات یک بیوپلیمر طبیعی است که به طور عمده از جلبک قهوه‌ای و به میزان کمتر از باکتری‌ها استخراج می‌شود مطالعات نشان داده که آلژینات سبب افزایش و رشد و تکثیر سلول‌های استوبلاستی و کندروستی کشت داده شده بر روی این داربست می‌شود. از دیگر داربست‌های پرکاربرد و بیوپلمیری در مهندسی بافت کیتوزان است. کیتوزان پلیمر گلیکوزآمین و N-استیل گلوکز آمین است که دیپلاریزاسیون و داستیلاسیون کیتون بدست می‌آید (۱). کیتوزان از لحاظ زیست-تخریب‌پذیری بسیار مناسب است و ساختاری شبیه گلیکوزآمینوگلیکان‌ها دارد (۲۵).

Yunfan و همکارانش در سال ۲۰۲۰ از داربست‌های کیتوزان به همراه اسید اتیلن دی آمین تترا استیک (EDTA) برای ایجاد گروه‌های کربوکسیل بیشتر و به دنبال آن پیوند فیزیکی کلسیم برای افزایش قدرت هیدروژل برای لود سلول‌های کندروسیت استفاده کردند. نتایج آن‌ها نشان داد داربست‌های کیتوزان به همراه اسید اتیلن دی آمین تترا استیک (EDTA) محل مناسبی برای رشد و تکثیر سلول‌های غضروفی می‌باشد (۲۹).

Ghosh و همکارانش در سال ۲۰۱۹ از ترکیب آلژینات به همراه Fmocff برای ساخت داربست‌های هیدروژلی برای ترمیم و تکثیر سلول‌های استخوانی استفاده کردند. آنها پیشنهاد می‌دهند هیدروژل ترکیبی چسبندگی، تکثیر و تمایز استخوانی را تسهیل می‌کند و در بازسازی استخوان موثر است (۸). همچنین Maji و همکارانش در سال ۲۰۱۶ نشان دادند که داربست-های کیتوزانی دارای خواص عالی آب‌دوستی، زیست-تخریب‌پذیری، غیرسیتوتوکسیک، حمایت سلول‌های بنیادی و کمک به تکثیر تمایز آنها می‌کند. همچنین

برای بیشتر غربالگری بیومارکرها و مطالعات پروتئومیک مقایسه‌ای، از جمله موارد مرتبط با ناباروری مرد و سرطان پروستات باشد (۱۳).

Xie و همکارانش در سال ۲۰۱۷ نشان دادند که آگزوزوم‌های مشتق از استخوان دارای چندین نقش هستند از جمله فعال کردن استئوبلاست‌ها و غیرفعال کردن استئوکلاست‌ها و همچنین سبب بیان ژن‌های Wnt5a و RUNX2 که در استخوان‌سازی نقش بسزایی دارند می‌شود (۲۸).

Guihard و همکارانش در سال ۲۰۱۲ نشان دادند که جذب استخوان توسط استئوکلاست‌ها و تشکیل استخوان توسط استئوبلاست‌ها به طور فزاینده‌ای از عوامل مرتبط با فرآیند استخوان‌سازی هستند. ماکروفاژها به عنوان یکی دیگر از سلول‌های حیاتی سلولی که باعث تشکیل استخوان می‌شود. همچنین آنها نشان دادند که سلول‌های مونوسیتی و ماکروفاژی سبب فعال شدن مسیرهای استئوژنری می‌شود (۹).

Sun و همکارانش در سال ۲۰۱۷ نشان دادند که مونوسیت‌های جمع‌آوری شده از خون محیطی می‌تواند سبب افزایش بیان مارکرهای SDF-1a، TGF- β 1، VEGF در سلول‌های مزانشیمی لود شده در داربست سیلیکون و کلاژن می‌شود این یافته‌ها نشان داد که سلول‌های مونوسیت توانایی افزایش ارتقا این سلول‌ها را به سلول‌های استخوانی دارند (۲۱).

Ekstrom و همکارانش در سال ۲۰۱۳ نشان دادند که آگزوزوم‌های استخراج شده از مونوسیت‌ها و ماکروفاژها سبب افزایش بیان فاکتورهای تمایزی RUNX2 و BPM2 در سلول‌های بنیادی مزانشیمی مشتق از مغز استخوان می‌شود و سبب تحریک این سلول‌ها به سمت استخوان‌سازی می‌شوند (۷). نتایج بدست آمده از پژوهش حاضر که هم راستا با نتایج گذشته است نشان می‌دهد که آگزوزوم‌های مشتق شده از مونوسیت‌ها و ماکروفاژها سبب رشد و تکثیر

برداشت می‌شود و حاوی یک منبع خون محسوب می‌شود و برداشت آن موجب عوارض کمتری برای بیماران می‌شود. ما در این پژوهش از سلول‌های بنیادی چربی با توجه به ویژگی‌های ذکر شده به منظور تمایز به سمت استئوبلاست‌ها استفاده کردیم (۲۰).

به منظور بهبود و سرعت بخشیدن به فرآیند تمایز از فاکتورهای متعددی از جمله فاکتورهای رشد فیبروبلاستی، هورمون‌ها، داروها و غیره استفاده می‌شود (۲۰). آگزوزوم‌ها نانوزیکولی محصور در غشا با لایه ی فسفولیپیدی می‌باشد و ترکیبی مشابه سلول والد خود شامل انواعی از پروتئین‌ها مانند پروتئین‌های شوک حرارتی (Hsp70 و Hsp90)، ترانسپورترهای غشایی و اتصالی (Annexin و GTPases) و تتراسپانین‌ها CD9، CD63، CD81 و CD82 هستند (۴). علاوه بر پروتئین‌ها، آگزوزوم‌ها شامل لیپیدهای درگیر در انتقال سلول، mRNA های ترجمه شونده و همچنین RNAهای کوچک می‌شوند. در میان RNAهای کوچک miRNA با نسبت بیشتری در آگزوزوم‌ها وجود دارند (۴). درمان با آگزوزوم سبب بهبود پیامدهای درمانی می‌شود (۴).

Liu و همکارانش در سال ۲۰۱۷ نشان دادند آگزوزوم‌ها، نانوذراتی از غشای هسته‌ای اندوسیتیک هستند که مولکول‌های زیست فعال و میانجی را حمل و انتقال می‌دهند و ارتباط بین سلولی بین سلول‌ها و بافت‌ها برقرار می‌کنند همچنین نشان دادند که آگزوزوم‌ها در فرآیندهای بیولوژیک، از جمله متابولیسم، مسیرهای انرژی، متابولیسم پروتئین، رشد و نگهداری سلول و حمل و نقل دخیل بودند. پروتئین‌های که در این فرآیندها نقش دارند، PHGDH، LGALS3BP، SEMG1، ACTB، GAPDH شناسایی شدند. این مطالعه ارائه یک توصیف جامع‌تر از آگزوزوم هسته پروتئوم و همچنین می‌تواند یک منبع

International, 2020(2): 1-15.

2. Bendtsen S.T. 2017. Alginate Hydrogels for Bone Tissue Regeneration. *Uconn*, 4(7): 1-149.

3. Ciuffi S., Zonefrati R., Brandi ML. 2017. Adipose stem cells for bone tissue repair. *Clinical Cases of Mineral Bone Metabolism*, 14(4): 217.

4. De C., Gomez T., Goreham R.V., Serra JJB., Nann T., Kussmann M. 2018, Exosomes A Review of Biophysics ,Biology and Biochemistry of Exosomes With a Focus on Human Breast Milk. *Front Genetics*, 9(5): 1-11.

5. Do A.V., Khorsand B., Geary S.M., Salem A.K. 2015. 3D Printing of Scaffolds for Tissue Regeneration Applications. *Advances in Healthcare Materials*, 4(6): 1742-1762.

6. Doustgani A., Vasheghani-Farahani E., Soleimani M., Hashemi-Najafabadi S. 2011. Preparation and characterization of aligned and random nanofibrous nanocomposite scaffolds of poly (vinyl alcohol), poly (ε-Caprolactone) and nanohydroxyapatite. *International Journal of Nanoscience and Nanotechnology*, 7(7): 127-132.

7. Ekström K., Omar O., Granéli C., Wang X., Vazirisani ndF., Thomsen P. 2013. Monocyte Exosomes Stimulate the Osteogenic Gene Expression of Mesenchymal Stem Cells. *PLoS One*, 8(9): 1-14.

8. Ghosh M., Halperin-sternfeld M., Grinberg I., Adler-abramovich L. 2019. Injectable Alginate-Peptide Composite Hydrogel as a Scaffold for Bone Tissue Regeneration. *Nanomaterials*, 9(3):14.

9. Guihard P., Danger Y., Brounais B., David E., Brion R., Delecryn J., Richards CD., Chevalier S., Rédini F., Heymann D., Gascan H., Blanchard F. 2012. Induction of osteogenesis in mesenchymal stem cells by activated monocytes/macrophages depends on oncostatin M signaling. *Stem*

سلول‌های بنیادی چربی در داربست‌های کیتوزان آلزینات می‌شوند همچنین با گذشت زمان سبب تمایز این سلول‌ها به سمت بافت استئوژنیک می‌شوند که نتایج تست تمایزی آلکالین فسفاتاز نشان داد که با گذشت زمان میزان این آنزیم افزایش پیدا می‌کند و در روز ۲۱ به حداکثر میزان می‌رسد. همچنین نتایج تست Real-Time PCR در روز ۲۱ نشان داد ژن‌های SMAD4، BMP2/6 و استئوکلسین و استئوپوننتین افزایش پیدا می‌کنند که این نشان‌دهنده فعال شدن مسیر استئوژنیک می‌باشد. با افزایش فعالیت BMP2 ها گیرنده BMP2 فعال و سبب فعال شدن آبشار سیگنالینگ می‌شود که در مسیر آن SMAD4 به عنوان رابط قرار دارد و با افزایش فعالیت SAMAD4 سبب فعال شدن SAMAD1/5/8 می‌شود که به موجب آن ژن‌های استئوژنیک مثل استئوپنتین و استئوکلسین فعال می‌شوند و BMP6 هم کمک کننده این مسیر پیام‌رسانی است.

نتیجه‌گیری

افزایش ژن‌های تمایزی استئوکلسین (Osc) و استئوپوننتین (Opn) در نمونه‌های تیمار شده ثابت کرد که آگروزوم‌های مشتق شده از مونوسیت‌ها و ماکروفاژها می‌توانند سبب تمایز سلول‌های بنیادی چربی در داربست‌های کیتوزان آلزینات شوند.

تشکر و قدردانی

از همکاران مرکز تحقیقات بیولوژی کاربردی تکوین جانوری دانشگاه آزاد اسلامی واحد مشهد، صمیمانه سپاسگزاری می‌شود.

منابع

1. Ahmed G.M., Abouauf E.A., Abubakar N., Dörfer C.E., El-sayed K.F. 2020. Review Article Tissue Engineering Approaches for Enamel , Dentin , and Pulp Regeneration : An Update. *stem cell*

- bioprinting: Future perspectives. *Curr Res Cardiology*, 2(5): 193-196.
19. Patel G.K., Khan M.A., Zubair H., Srivastava S.K. 2019. Comparative analysis of exosome isolation methods using culture supernatant for optimum yield ,purity and downstream applications. *scientificreports*, 9(4):1-10.
20. Salehi-Nik N., Rezai Rad M., Kheiri L., Nazeman P., Nadjmi N., Khojasteh A. 2017. Buccal Fat Pad as a Potential Source of Stem Cells for Bone Regeneration: A Literature Review. *Stem Cells International*, 2017: 1-13. (In Persian).
21. Sun J., Jiao K., Niu L., Jiao Y., Song Q., Shen L., Tay F.R., Chen J. 2017. Intrafibrillar silicified collagen scaffold modulates monocyte to promote cell homing, angiogenesis and bone regeneration. *Biomaterials*, 113(8): 203-216.
22. Tabriz AG., Hermida MA., Leslie NR., Shu W. 2015, Three-dimensional bioprinting of complex cell laden alginate hydrogel structures. *Biofabrication*, 7: 45012.
23. Tan Y., Richards DJ., Trusk TC., Visconti RP., Yost MJ., Kindy MS., Drake CJ., Argraves WS., Markwald RR., Mei Y . 2014. 3D printing facilitated scaffold-free tissue unit fabrication. *Biofabrication*, 6(24): 1-11.
24. Tuğrul TD., Gülseren IM. 2017. bioprintable form of chitosan hydrogel for bone tissue engineering. *iposeince*, 3(2): 1-15.
25. Valido DP., Déda W., Júnior G., Andrade ME De., Rezende AA., Campos CDA., Maria A., Oliveira S., Silva B., Souza S.D. 2020. Otoliths-composed gelatin/sodium alginate scaffolds for bone regeneration. *drug Delivery translational Research*, 12: 14.
26. Wang G., Wang X., Huang L. 2017. Feasibility of chitosan-alginate (Chi-Alg) hydrogel used as scaffold for neural tissue *Cells*, 30: 762-772.
10. Hu L., Wang J., Zhou X., Xiong Z., Zhao J., Yu R., Huang F., Zhang H., Chen L. 2016. Exosomes derived from human adipose menseschymal stem cells accelerates cutaneous wound healing via optimizing the characteristics of fibroblasts. *Scientific Reports*, 6: 32993
11. Kapellos T.S., Bonaguro L., Gemünd I., Reusch N., Saglam A., Hinkley ER., Schultze J.L. 2019. Human Monocyte Subsets and Phenotypes in Major Chronic Inflammatory Diseases. *Immunology*, 10:1-13.
12. Kumbhar S.G., Pawar S.H. 2017 Self-Functionalized, Oppositely Charged Chitosan-Alginate Scaffolds for Biomedical Applications. *Biotechnology Indian Journal*, 13(2): 130
13. Liu X., Yang Y., Li Y., Niu X., Zhao B., Wang Y., Bao C., Xie Z., Lin Q., Zhu L. 2017. Integration of stem cell-derived exosomes with in situ hydrogel glue as a promising tissue patch for articular cartilage regeneration. *Nanoscale*, 9(7): 4430-4438.
14. Maji K., Dasgupta S., Pramanik K., Bissoyi A. 2016. Preparation and Evaluation of Gelatin-Chitosan-Nanobioglass 3D Porous Scaffold for Bone Tissue Engineering. *International Journal of Biomaterials*, 2016: 1-14.
15. Malda J., Boere J., van de Lest C.H.A., van Weeren P.R., Wauben M.H.M. 2016. Extracellular vesicles - new tool for joint repair and regeneration. *Natural Review of Rheumatology*, 12(3):243-249.
16. Markwald RR., Mironov V. 2015. Organ printing: from bioprinter to organ biofabrication line. *Expert Opin Biological Therapy*, 10: 409-420.
17. Miana V.V., González E.A.P. 2018. Adipose tissue stem cells in regenerative medicine. *Ecancer*, 12(2): 1-17.
18. Ms JO., Hellein Bs J., Singla Hs R., Singal PK., Faha P., Singla DK., Fiacs F. 2015. Stem cells in three-dimensional

30. Zhang Y., Liu Y., Liu H., Tang WH. 2019, Exosomes : biogenesis, biologic function and clinical potential. *Cell Bioscience*, 9: 1-18.
31. Zhao J., Yan X. 2019, Regulating Preparation Of Functional Alginate-Chitosan Three-Dimensional Scaffold For Skin Tissue Engineering. *International Journal of Nanomedicine*, 14(7): 8891-8903.
32. Zhou S., Wang Y., Zhang K., Cao N., Yang R., Huang J., Zhao W., Rahman M., Liao H., Fu Q. 2020, The Fabrication and Evaluation of a Potential Biomaterial Produced with Stem Cell Sheet Technology for Future Regenerative Medicine. *stem cell Interational*, 2020(5): 1-12.
- engineering: a pilot study in vitro. *Biotechnol Biotechnol Equipments*, 31(7): 766-773.
27. Wang S., Lee J.M., Yeong WY. 2015, Smart hydrogels for 3D bioprinting. *International Journal of Bioprinting*, 1(1): 3-14.
28. Xie Y., Chen Y., Zhang L., Ge W., Tang P . 2017, The roles of bone-derived exosomes and exosomal microRNAs in regulating bone remodelling. *Journal of Cell and Molecular Medicine*, 21:1033-1041.
29. Yunfan H. , Derakhshanfar S., Wen Z., Li B., Lu F., Xing X.L. 2020, *Nanomaterials*, 2020(8):1-11.

